

СТРУКТУРА УДАРНЫХ ВОЛН ВКЛЮЧЕНИЯ

Ю. А. Березин, В. А. Вшивков, Г. И. Дудникова

(Новосибирск)

Ударные волны, распространяющиеся вдоль невозмущенного магнитного поля при частотах $\omega \leq \Omega_H = eH_0/m_i c$ (волны включения), изучались экспериментально в ряде работ [1—3], причем в [1] эксперименты проводились в условиях, когда механизм диссипации связан с кулоновскими соударениями, а в [2—3] — с коллективными взаимодействиями. В [4] обсуждена структура МГД ударных волн включения с учетом ионной вязкости $\mu \propto T^{5/2}$ и конечной проводимости $\sigma \propto T^{3/2}$.

В данной работе для изучения нестационарных ударных волн включения используется двухжидкостная газодинамическая модель квазинейтральной плазмы с учетом конечной проводимости и электронной теплопроводности, поскольку именно эти диссипативные процессы определяют структуру бесстолкновительных ударных волн [2]. Исходная система уравнений имеет вид

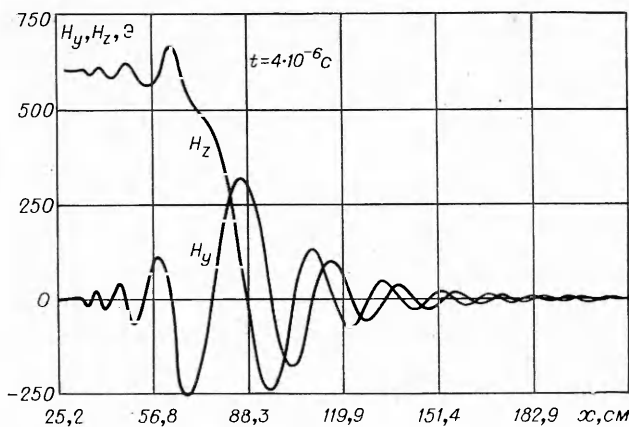
$$\begin{aligned}
 & \frac{\partial N}{\partial t} + \frac{\partial (Nu)}{\partial x} = 0; \\
 (1) \quad & Nm_i(\partial u/\partial t + u\partial u/\partial x) = -\frac{\partial}{\partial x}[p + (H_y^2 + H_z^2)/8\pi]; \\
 & Nm_i(\partial v/\partial t + u\partial v/\partial x) = (H_0/4\pi)\partial H_y/\partial x; \\
 & Nm_i(\partial w/\partial t + u\partial w/\partial x) = (H_0/4\pi)\partial H_z/\partial x; \\
 & \frac{\partial H_y}{\partial t} = -\frac{\partial}{\partial x}\left\{uH_y - vH_0 + \frac{m_e c^2}{4\pi e^2}\left(\frac{\partial}{\partial t} + u\frac{\partial}{\partial x}\right)\left(\frac{1}{N}\frac{\partial H_y}{\partial x}\right) + \right. \\
 & \quad \left. + \frac{c^2}{4\pi\sigma}\frac{\partial H_y}{\partial x} + \frac{cH_0}{4\pi e N}\frac{\partial H_z}{\partial x}\right\}; \\
 & \frac{\partial H_z}{\partial t} = \frac{\partial}{\partial x}\left\{wH_0 - uH_z + \frac{m_e c^2}{4\pi e^2}\left(\frac{\partial}{\partial t} + u\frac{\partial}{\partial x}\right)\left(\frac{1}{N}\frac{\partial H_z}{\partial x}\right) + \right. \\
 & \quad \left. + \frac{c^2}{4\pi\sigma}\frac{\partial H_z}{\partial x} - \frac{cH_0}{4\pi e N}\frac{\partial H_y}{\partial x}\right\}; \\
 & \frac{\partial p}{\partial t} + u\frac{\partial p}{\partial x} + \gamma p\frac{\partial u}{\partial x} = (\gamma - 1)\left\{\frac{c^2}{16\pi^2\sigma}\left[\left(\frac{\partial H_y}{\partial x}\right)^2 + \right.\right. \\
 & \quad \left.\left. + \left(\frac{\partial H_z}{\partial x}\right)^2\right] + \frac{\partial}{\partial x}\left(\kappa\frac{\partial T}{\partial x}\right)\right\}; \quad p = NT.
 \end{aligned}$$

Направление распространения волны и невозмущенного магнитного поля H_0 совпадает с осью x ; $\mathbf{U} = \{u, v, w\}$ — макроскопическая скорость плазмы; p — электронное давление (ионы считаются холодными); $\sigma = Ne^2/m_e v$ — проводимость; v — эффективная частота столкновений частиц плазмы с флюкуациями электромагнитного поля; κ — электронная теплопроводность.

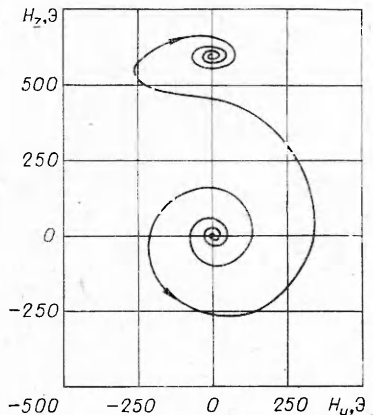
В начальный момент времени однородная покоящаяся плазма с $p_0 \ll H_0^2/8\pi$ занимает область $x \geq 0$; на границе плазма—вакуум задаем z -компоненту магнитного поля по закону

$$H_z(0, t) = H_z^0(1 - e^{-\omega t}).$$

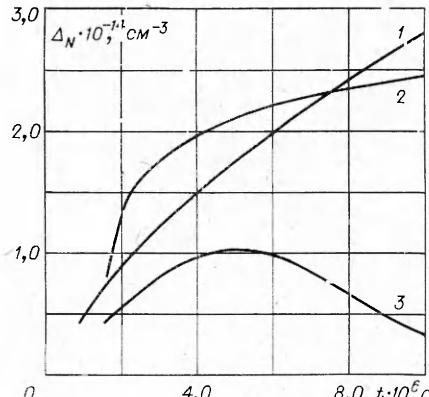
Рассмотрим результаты, полученные с помощью численного решения системы (1). На фиг. 1 представлено пространственное распределение



Фиг. 1



Фиг. 2



Фиг. 3*

поперечных компонент магнитного поля в ударной волне включения, полученное в результате численного решения системы (1) при $v = 10^{-2}\omega_H$, $\omega = 0,9\Omega_H$,

$$H_z^0 = 1,2 H_0, M \approx 1,2, H_0 = 500 \text{ Oe}, N_0 = 10^{14} \text{ см}^{-3}.$$

Известно, что вдоль невозмущенного магнитного поля в области частот $\omega \leq \Omega_H$ могут распространяться две волны, закон дисперсии для которых имеет вид

$$(2) \quad \begin{aligned} \omega/k &\simeq V_A \sqrt{1 - kc/\Omega_i} \text{ — обыкновенная волна;} \\ \omega/k &\simeq V_A \sqrt{1 + kc/\Omega_i} \text{ — необыкновенная волна.} \end{aligned}$$

В соответствии с законом дисперсии (2) профиль z-компоненты магнитного поля имеет осцилляторную структуру как переди основного скачка, так и за ним. Характерный пространственный масштаб осцилляций порядка длины дисперсии c/Ω_i . Максимальный размер осцилляций

* На фиг. 3 вместо $\Delta_N \cdot 10^{-14}$, см⁻³ следует читать Δ_N , см.

за фронтом $\simeq 4c/\Omega_i$ и впереди фронта $\simeq 7c/\Omega_i$. Возникающая во фронте y -компоненты магнитного поля также имеет осцилляторную структуру. Сдвиг фаз между H_y и H_z составляет 90° . Направление вращения вектора поперечного магнитного поля H_\perp перед основным скачком совпадает с направлением вращения электрона в магнитном поле H_0 , а за скачком — с направлением вращения иона (фиг. 2).

Таким образом, при наличии малой диссипации ударная волна имеет «штопорную» структуру; ширина основного скачка плотности и количество осцилляций с течением времени растут (фиг. 3, кривая 1), хотя скорость волны $V = V_A M$ и ширина скачка магнитного поля в сформировавшейся волне остаются примерно постоянными. Ширина основного скачка плотности и магнитного поля определяется по формулам

$$\Delta_N = (N_{\max} - N_{\min})/|\partial N/\partial x|_{\max}, \quad \Delta_H = (H_{\max} - H_{\min})/|\partial H/\partial x|_{\max}.$$

Увеличение диссипации приводит к исчезновению осцилляций, размер которых меньше диссипативного размера

$$\Delta_d \approx c^2/4\pi\sigma V_A(M - 1).$$

При значении $v = 0,6 \omega_H$, $M \simeq 1,2$ и амплитуде магнитного поля на границе плазмы $H_z^0 = 1,2H_0$ ударная волна включения является квазистационарной: скорость, ширина скачка поля и плотности волны с течением времени практически не меняются (фиг. 3, кривая 2). Анализ уравнений структуры стационарных волн включения показывает, что при $M > M_* = 1,53$, когда отсутствует теплопроводность, и 1,63 с учетом теплопроводности имеет место разрыв газодинамических функций N , u при непрерывном магнитном поле. Решение нестационарных уравнений (1) при больших амплитудах поля на границе позволяет проследить изменение структуры волны включения и приближение к стадии опрокидывания, т. е. $\Delta_N \rightarrow 0$ (фиг. 3, кривая 3).

Сравнение результатов расчета с экспериментами [2] позволяет говорить о качественном согласии по структуре и скорости ударных волн включения при $M < M_*$. Детальное сопоставление провести трудно, так как в экспериментах нет чисто одномерной картины. Кроме того, рассмотренные режимы с $M \geq M_*$ в экспериментах не изучались.

Поступила 10 X 1975

ЛИТЕРАТУРА

1. Biegel L., Collins A. R., Cross R. C. MHD «switch-on» shock structure.— «Phys. Letters», 1974, vol. A 47, N 4.
2. Куртмуллаев Р. Х., Масалов В. Л., Меклер К. И., Семенов В. Н. Ударные волны, распространяющиеся вдоль магнитного поля в бесстолкновительной плазме.— ЖЭТФ, 1971, т. 60, № 1.
3. Kuriki K., Inutake M. Super-Alfvenic flow and collision free shock wave in a plasma wind tunnel.— «Phys. Fluids», 1974, vol. 17, N 1.
4. Bickerton R. J., Lenamon L., Murphy R. V. W. The structure of hydromagnetic shock waves.— «J. Plasma Phys.», 1971, vol. 5, N 2.